

TECHNIKA CIEPLNA

CZASOPISMO STOWARZYSZENIA DOZORU KOTŁÓW W WARSZAWIE

OFICJALNY ORGAN POLSKIEGO KOMITETU NORMALIZACYJNEGO DLA SPRAW KOTŁOWYCH

REDAKTOR: Inż. techn. JAN KOMARNICKI.

Wydawca: Stowarzyszenie Dozoru Kotłów w Warszawie.

REDAKCJA I ADMINISTRACJA: WARSZAWA, PIUSA XI 32, m. 2. TEL. 8-25 04.

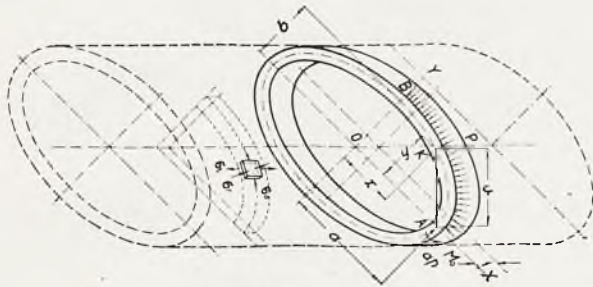
GODZINY BIUROWE: ADMINISTRACJI — CODZIENNIE, OD 10 DO 15.

Prof. dr. MAKSYMILJAN T. HUBER

OBLICZENIE WYTRZYMAŁOŚCIOWE PŁOMIENIC KOTŁÓW PAROWYCH O PRZEKROJU ELIPTYCZNYM.

I.

Przy założeniu bardzo małych odkształceń całkowitych wskutek ciśnienia pary w kotle o wielkości p atm doznaje każdy element warstwy środkowej ściany płomienicy (rys. 1) naprężeń głównych następujących:



Rys. 1

1^o) Naprężenie podłużne σ_l o kierunku równoległym do osi podłużnej płomienicy. Jest to ciągnięcie, którego wielkość określa (niezależnie od długości płomienicy) wzór przybliżony:

$$\sigma_l = p \frac{(F_0 - F_1)}{O_0 g_0 + O_1 g} \dots \dots (1')$$

Tutaj oznacza:

F_0 — pole wewnętrzne przekroju walczaka

F_1 — pole zewnętrzne przekroju płomienicy

O_0 — obwód środkowy przekroju walczaka

O_1 — obwód środkowy przekroju płomienicy

g_0 — grubość ściany walczaka

g — grubość ściany płomienicy.

2^o) Naprężenie obwodowe σ_0 , które jest widocznie ciśnieniem, mającym wartości krańcowe na końcach obu osi elipsy przekroju, czyli

$$\sigma_0' = -p \frac{a}{g}; \quad \sigma_0'' = -p \frac{b}{g} \dots (2)$$

jeżeli $2a$ i $2b$ oznaczają odpowiednio długości obu osi. Te wartości należą, biorąc ścisłe, tylko do krańcowego przypadku płomienicy bardzo długiej i na końcach nieusztwionej.

3^o) Naprężenia radialne σ_r , również ciśnienia, które jako w każdym razie mniejsze od p można pominąć.

¹⁾ To obliczenie nie uwzględnia mimośrodowości przekroju poprzecznego płomienicy względem przekroju walczaka, co musi prowadzić do nierównomiernego rozkładu naprężeń σ_l . Jednakże nawet wtedy określi wzór (1) dość dokładnie wartość σ_l w miejscu niebezpiecznym (Ob. poniżej).

Ale największego wyężenia materiału należy oczywiście szukać na powierzchni ściany płomienicy, albowiem ciśnienie zewnętrzne spłaszcza elipsę przekroju, wywołując w każdym wydzielonym w myśli pierścieniu płomienicy największe momenty dodatnie (t. j. zwiększające krzywiznę) na końcach osi wielkiej, zaś największe momenty ujemne na końcach osi małej. Momenty te muszą mieć wartość zerową w pobliżu środków łuku każdej ćwiartki elipsy, a zatem

zupełnie słuszną jest wskazówka, ażeby tam umieszczać szew nitowy lub spoinę ściany płomienicy.

Przeciąwszy w myśli pierścień płomienicy o szerokości 1 cm w miejscu A na końcu osi wielkiej (rys. 1) otrzymujemy dla momentu zginającego M w punkcie $K(x, y)$ wyrażenie

$$M = M_0 + p \frac{u^2}{2} - a p (1 - x),$$

przyczem M_0 oznacza statycznie niewyznaczalny moment w przekroju A .

Uwzględniając, że

$$u^2 = y^2 + (a - x)^2; \quad \frac{x^2}{a^2} + \frac{y^2}{b^2} = 1$$

znajdujemy z łatwością

$$M = M_0 - \frac{1}{2} p (a^2 - b^2) \left(1 - \frac{x^2}{a^2}\right). \quad (3)$$

Wartość M_0 obliczymy z warunku minimum energii odkształcenia z pominięciem sił podłużnych i poprzecznych, co w tym przypadku

jest najzupełniej dopuszczalne. Warunek ten przybiera zatem postać:

$$\int M \cdot \frac{dM}{dM_0} ds = 0 \quad \dots \quad (4)$$

przyczem ds oznacza element łuku elipsy, dla którego z równania tej krzywej znajdujemy wyrażenie

$$ds = dx \sqrt{\frac{1 - \frac{a^2 - b^2}{a^2} \cdot \frac{x^2}{a^2}}{1 - \frac{x^2}{a^2}}}$$

albo po wprowadzeniu mimośrodu liczbowego

$$\varepsilon = \frac{\sqrt{a^2 - b^2}}{a}$$

$$ds = dx \sqrt{\frac{1 - \varepsilon^2 \frac{x^2}{a^2}}{1 - \frac{x^2}{a^2}}} \quad (5)$$

Z powodu symetrii wystarcza widocznie wykonać całkowanie w równaniu (4) na jednej ćwiartce elipsy. Mamy więc przy oznaczeniu $e^2 = a^2 - b^2$:

$$\int_0^a \left[M_0 - \frac{1}{2} p e^2 \left(1 - \frac{x^2}{a^2}\right) \right] \cdot \sqrt{\frac{1 - \varepsilon^2 \frac{x^2}{a^2}}{1 - \frac{x^2}{a^2}}} dx = 0 \quad (4a)$$

Wprowadziwszy teraz nową zmienną

$$\frac{x}{a} = \sin \varphi, \quad dx = a \cos \varphi d\varphi$$

otrzymujemy z (4a)

$$M_0 = \frac{1}{2} p e^2 \frac{\int_0^{\frac{\pi}{2}} \cos^2 \varphi \sqrt{1 - \varepsilon^2 \sin^2 \varphi} d\varphi}{\int_0^{\frac{\pi}{2}} \sqrt{1 - \varepsilon^2 \sin^2 \varphi} d\varphi} \quad (6)$$

A zatem moment M_0 jest funkcją modułu ε całek eliptycznych

$$E' = \int_0^{\frac{\pi}{2}} \sqrt{1 - \varepsilon^2 \sin^2 \varphi} d\varphi; \quad K = \int_0^{\frac{\pi}{2}} \frac{d\varphi}{\sqrt{1 - \varepsilon^2 \sin^2 \varphi}}$$

albowiem prawa strona równania (6) da się wyrazić przez te obie całki a mianowicie:

$$\int_0^{\frac{\pi}{2}} \cos^2 \varphi \sqrt{1 - \varepsilon^2 \sin^2 \varphi} d\varphi = \frac{1 + \varepsilon^2}{3 \varepsilon^2} E' - \frac{1 - \varepsilon^2}{3 \varepsilon^2} K^1)$$

A zatem

$$M_0 = \frac{1}{6} a^2 p \left[1 + \varepsilon^2 - (1 - \varepsilon^2) \cdot \frac{K}{E'} \right] \quad (6a)$$

albo po podstawieniu

$$\varepsilon^2 = 1 - \frac{b^2}{a^2}$$

$$M_0 = \frac{1}{6} a^2 p \left[2 - \frac{b^2}{a^2} \left(1 + \frac{K}{E'} \right) \right] \quad (6b)$$

Wzór ten można także napisać w postaci

$$M_0 = \frac{a^2 p}{6} \cdot F \left(\frac{b}{a} \right) \quad (6c)$$

jeżeli funkcja stosunku $\frac{b}{a}$ jest określona równaniem:

$$F \left(\frac{b}{a} \right) = 2 - \frac{b^2}{a^2} \left(1 + \frac{K}{E'} \right) \quad (7)$$

Do obliczenia wartości tej funkcji dla różnych wartości argumentu $\frac{b}{a}$ można się posłużyć tablicami Legendre'a, albo wyrażeniami przybliżonemi całek E' i K w postaci podanej niedawno przez G. A. Grünberga z Leningradu²⁾.

Wyrażenia te, dając w najniekorzystniejszym wypadku błędy wartości E' i K nie dochodzące 1^o/₀, prowadzą do następującej postaci współczynnika $F \left(\frac{b}{a} \right)$:

$$F \left(\frac{b}{a} \right) = 2 - \frac{b^2}{a^2} \left[1 + \frac{1,571 - \lg_{10} \left(\frac{b^2}{a^2} \right)}{1 + 0,5708 \left(\frac{b}{a} \right)^4} + 0,04 \frac{b^2}{a^2} \left(1 - \frac{b^2}{a^2} \right) \right] \quad (7a)$$

W granicach wartości $0,5 \leq \frac{b}{a} \leq 1$

wystarczających do naszego celu najzupełniej, można z błędem nie dochodzącym 1,5^o/₀ stosować wzór pierwszego przybliżenia:

$$F_1 \left(\frac{b}{a} \right) = 3 \left(1 - \frac{b}{a} \right) - 0,8 \left(1 - \frac{b}{a} \right)^2 = 2,2 - 1,4 \frac{b}{a} - 0,8 \left(\frac{b}{a} \right)^2 \quad (8)$$

Wartości obliczone w wzorów (7 a) i (8) zawiera tabliczka następująca:

$\frac{b}{a} = 1$	0,9	0,8	0,7	0,6	0,5
$F \left(\frac{a}{b} \right) = 0$	0,288	0,563	0,824	1,071	1,301
$F_1 \left(\frac{b}{a} \right) = 0$	0,292	0,568	0,828	1,072	1,300

Stosownie do tego napiszemy wzór (3) w postaci przybliżonej

$$M = \frac{a^2 p}{6} \left[2,2 \left(\frac{b}{a} \right)^2 + 3 \left(1 - \frac{b^2}{a^2} \right) \frac{x^2}{a^2} - \left(1,4 \frac{b}{a} + 0,8 \right) \right] \dots \dots \dots (9)$$

ważnej dla $0,5 \leq \frac{b}{a} \leq 1$

Przykład liczbowy:

$$2a = 73,3 \text{ cm}, 2b = 62,3 \text{ cm}, g = 1,3 \text{ cm}$$

$$\sigma_0' = - \frac{p a}{g} = - 28,2 \text{ p kg/cm}^2;$$

¹⁾ Wzór ten wynika z przekształcenia

$$\int \cos^2 \varphi \sqrt{1 - \varepsilon^2 \sin^2 \varphi} d\varphi = \frac{1}{6} \sin 2\varphi \sqrt{1 - \varepsilon^2 \sin^2 \varphi} + \frac{1 + \varepsilon}{3 \varepsilon^2} \int \sqrt{1 - \varepsilon^2 \sin^2 \varphi} d\varphi - \frac{1 - \varepsilon}{3 \varepsilon^2} \int \frac{d\varphi}{\sqrt{1 - \varepsilon^2 \sin^2 \varphi}}$$

które łatwo sprawdzić przez różniczkowanie

²⁾ Przykładowa matematyka i mechanika. Tom I, zes. 1, 1933.

$$\frac{b}{a} = 0,850; \quad \frac{b^2}{a^2} = 0,6225$$

$$M = \frac{a^2 p}{6} \left[0,8325 \left(\frac{x}{a} \right)^2 - 0,4 \right];$$

$$M_A = 0,4325 \frac{a^2 p}{6} = 96,8 p \frac{kg \text{ cm}}{cm}$$

$$M_B = -0,4 \frac{a^2 p}{6} = -89,6 p \frac{kg \text{ cm}}{cm};$$

$$W = \frac{1,3^2}{6} = 0,282 \frac{cm^3}{cm}$$

A zatem krańcowe wartości naprężeń gnących w *A* i *B* są:

$$\sigma_g^{(A)} = \frac{M_A}{W} = \pm 343,3 p;$$

$$\sigma_g^{(B)} = \frac{M_B}{W} = \mp 317,7 p.$$

Przy obliczeniu wysiłku materiału należy uwzględnić naprężenie podłużne σ_l (wzór 1). Przyjąwszy np. promień walczaka 75 cm znajdujemy (przy $g_0 = g = 1,3 \text{ cm}$), $O_0 = 471 \text{ cm}$

$$\sigma_l = \frac{75^2 \pi - 36,65 \cdot 31,15 \pi}{O_1 + O_0} \cdot \frac{p}{1,3}$$

$$O_1 = \pi (a + b) \left[1 + \frac{1}{4} \left(\frac{a-b}{a+b} \right)^2 + \right.$$

$$\left. + \frac{1}{64} \left(\frac{a-b}{a+b} \right)^4 + \dots \right] =$$

$$= \pi (a + b) \cdot 1,19 = 253,7 \text{ cm}$$

$$\sigma_l = \frac{\pi \cdot 4483 p}{725 \cdot 1,3} = 14,9 p.$$

Miejsca niebezpiecznego należy się spodziewać w *A* po stronie wewnętrznej, gdzie jedno naprężenie główne σ_I jest równe σ_l (ciągnięcie), zaś drugie σ_{II} równa się

$$\sigma_0' + \sigma_g^{(A)} = -28,2 p - 343,3 p = -371,5 p.$$

Wysiłek materiału określi (według hipotezy energii odkształcenia postaci) wzór:

$$\sigma_{red}^2 = \sigma_I^2 + \sigma_{II}^2 - \sigma_I \sigma_{II}$$

A zatem:

$$\sigma_{red}^2 = (14,9 \cdot p)^2 + (371,5 p)^2 + 14,9 \cdot 371,5 p^2$$

$$\sigma_{red} = 379 p.$$

II.

Obliczenie powyższe dałoby wyniki zbliżone do rzeczywistości tylko w przypadkach płomienic bardzo długich w stosunku do wymiarów poprzecznych. Płomienice stosowane w praktyce temu warunkowi nie dogadzają, gdyż długość ich *l* nie dochodzi zwykle 4*b*, t. j. dwukrotnej najmniejszej średnicy. Dzięki temu musi być rzeczywiste σ_{red} znacznie mniejsze od obliczonego powyżej. Albowiem odkształcenie elementarnego pierścienia płomienicy nie zachodzi tylko pod wpływem samych ciśnień zewnętrznych *p*, które ten pierścień spłaszczają, ale nadto pod wpływem ciągnięć σ_l wzdłuż tworzących walca płomienicy. Te ciągnięcia działając w kierunku odwrotnym muszą znosić częściowo skutek ciśnień *p*, tak, iż ugięcia i naprężenia, które zrazu rosną proporcjonalnie do *p*, przy większych wartościach *p* wzrastają coraz wolniej. Zadanie obliczenia ugięć i naprężeń przy dowolnie wielkich wartościach *p* jest nawet w granicach sprężystości bardzo trudne. Nie kusząc się o jego rozwiązanie ścisłe, poprzestaniemy na przybliżonym wyznaczeniu współczynnika zmniejszającego, którym wypadnie mnożyć wyniki obliczeń podanych w części I, aby otrzymać wartości zbliżone bardziej do rzeczywistych. Niechaj *w* oznacza rzeczywiste zwiększenie pólki *a* płomienicy krótkiej przy ciśnieniu *p*, zaś *w*¹ zwiększenie obliczone przy założeniu bardzo wielkiej długości płomienicy, to oczywiście stosunek *w* : *w*¹ = ω określi nam szukany współczynnik zmniejszający ω . Pomyślmy sobie skrawek płomienicy wycięty wzdłuż tworzącej punktu *A*. Gdyby nie było ciągnięć σ_l , to skrawek ten wygiąłby się na zewnątrz podobnie jak belka o długości *l* (płomienicy) w obu końcach podparta przy obciążeniu rozłożonym w pewien sposób na całej rozpiętości. Wygięciu temu odpowiadałaby strzałka, która w środkowym przekroju poprzecznym płomienicy miałaby wartość *f*¹. Wskutek sił rozciągających skrawek, zmniejszy się ta wartość na *f*, przyczem jak wiadomo, można z wystarczającym przybliżeniem napisać¹⁾

$$f = \frac{f^1}{1 + \frac{\sigma}{\sigma_B}}$$

¹⁾ Timoszenko—Huber. Kurs wytrzymałości materiałów, str. 225.

Tutaj oznacza σ naprężenie podłużne obliczone powyżej jako σ_l zaś $\sigma_E = \pi^2 \frac{E}{S^2}$

Eulerowską wartość tego naprężenia, przyczem kwadrat smukłości S :

$$S^2 = \frac{l^2}{i^2} = \frac{12l^2}{g^2}$$

W przypuszczeniu, że stosunek $\frac{f}{f^1}$

zbliża się do $\frac{w}{w^1}$ możemy teraz napisać:

$$\omega = \frac{w}{w^1} = \frac{1}{1 + \frac{12 \sigma_l l^2}{\pi^2 E g^2}} = \sim \frac{1}{1 + 1,2 \frac{\sigma_l l^2}{E g^2}}$$

To przypuszczenie nie odpowiada ściśle rzeczywistości, ale błąd idzie w naszym przypadku raczej na korzyść pewności.

Przykład liczbowy.

Dla tych samych danych co w części I i długości płomienicy $l = 112 \text{ cm}$ znajdujemy

$$\omega = \frac{1}{1 + 1,2 \frac{14,9 p \cdot 112^2}{2 \cdot 10^6 \cdot 1,3^2}} = \frac{1}{1 + 0,0663 p}$$

A zatem

$$\sigma_{g^{(A)}} = - \frac{343,3 p}{1 + 0,0663 p};$$

$$\sigma_{II} = \sigma_0^1 + \sigma_{g^{(A)}} = - 28,2 p - \frac{343,3 p}{1 + 0,0663 p}$$

$$\sigma_{red}^2 = (14,9 p)^2 + \left(28,2 + \frac{343,3}{1 + 0,0663 p} \right)^2 p^2 + 14,9 \left(28,2 + \frac{343,3}{1 + 0,0663 p} \right) p^2$$

Stąd

$$\sigma_{red} = 14,9 p \sqrt{1 + \frac{25 + 0,13 p}{1 + 0,066 p} + \left(\frac{25 + 0,13 p}{1 + 0,066 p} \right)^2}$$

Chcąc znaleźć niebezpieczną wartość ciśnienia p podstawiamy zamiast σ_{red} wartość granicy plastyczności materiału (*gr* „płynności“) np. 1800 kg/cm^2 i otrzymujemy drogą kolejnych przybliżeń

$$p_{nteb} = 6,5 \text{ atm}$$

Tymczasem z rachunku w części I, nieuwzględniającego korzystnego działania ciągnięć podłużnych, wypadło

$$p_{nteb} = \frac{1800}{394,5} = 4,6 \text{ atm}$$

Tak więc przybliżone uwzględnienie korzystnego wpływu małej długości płomienicy wskazuje na prawie $1\frac{1}{2}$ -krotną pewność przy tej wartości ciśnienia, która ze zwykłego rachunku wypada już jako niebezpieczna.

III.

Zmniejszenie wysiłku materiału, jakie musi zachodzić wskutek korzystnego działania końców krótkiej płomienicy, można ocenić jeszcze w sposób następujący. Dzięki połączeniu płomienicy z jednej strony z dnem kotła narażeniem głównie na rozciąganie, z drugiej zaś z bardzo sztywną ścianą sitową, można ze znacznym przybliżeniem przyjąć, iż naprężenia obwodowe σ_0' i σ_0'' w odpowiednich punktach pierścieni elementarnych płomienicy na obu jej krańcach mają wartość bliską 0. Naprężenia te muszą oczywiście wzrastać w sposób ciągły w miarę zbliżenia się przekroju poprzecznego do środka długości płomienicy, nie osiągając oczywiście w krótkich płomienicach wartości określonych wzorami (2) t. j. $\frac{p a}{g}$ i $\frac{p b}{g}$,

które odpowiadają płomienicy bardzo długiej praktycznie nie stosowanej. A ponieważ od wartości σ_0' i σ_0'' zależą wartości momentów i odpowiadających im naprężeń gnących σ_g , przeto z wyjątkiem naprężeń podłużnych σ_l wszystkie inne ulegają zmniejszeniu, które w rozpatrywanym powyżej przykładzie można śmiało ocenić na 50% w przekroju środkowym.

Stosownie do tego znajdujemy dla tego przykładu:

$$\sigma_{red}^2 = p^2 [14,9^2 + (28,2 + 343,3)^2 \cdot 0,25 + 14,9 (28,2 + 343,3) \cdot 0,5]$$

A stąd

$$\sigma_{red} = 193,5 p$$

Przy $\sigma_{red} = 1800 \text{ kg/cm}^2$ wypada zatem $p_{nteb} = 9,3 \text{ atm}$, a więc około dwa razy więcej niżby wypadało dla płomienicy bardzo długiej.

W rzeczywistości działają obie przyczyny redukujące wysiłek materiału w środkowym przekroju poprzecznym płomienicy, t. j. korzystne działanie ciągnięć σ_l , oraz sztywności połączeń płomienicy z dnem i ścianą

sitową. Dlatego ryczałtowe zmniejszenie o połowę wartości wysiłku, obliczonej według części I można uważać w warunkach naszego przykładu za najzupełniej leżące w granicach bezpieczeństwa.

Jeszcze jeden argument na uzasadnienie proponowanego ryczałkowego zmniejszenia wysiłku wynika z rozważania zagadnienia pokrewnego, a mianowicie z obliczenia wartości krytycznej ciśnienia pary dla płomienicy okrągłej, t. j. wartości powyżej której zajdzie zakłębienie płomienicy. Odnośne zadanie zostało rozwiązane już dawno przez Lévy'ego i Boussinesq'a¹⁾ w przypadku rury bardzo długiej bez usztywnień końcowych, a w nowszych czasach przez Southwell'a i Mises'a w przypadku dowolnej długości rury o końcach usztywnionych.

Nie przytaczając odnośnych rachunków wielce złożonych, zaznaczą tylko, że w wa-

runkach najbardziej zbliżonych do naszej płomienicy eliptycznej, wypada teoretyczna wartość p_{kr} przynajmniej 4 razy większa od wartości odpowiadającej rurze bardzo długiej w porównaniu do jej średnicy.

Nakoniec wypada zaznaczyć, że oceniony powyżej współczynnik zmniejszający wysiłek materiału w krótkich płomienicach eliptycznych możnaby ustalić dokładniej przez badania doświadczalne. Dla zmniejszenia kosztów wystarczyłoby sporządzić niewielki model płomienicy zamknięty obustronnie dnami i mierzyć odkształcenia wypompowując powietrze z wewnątrz, co oczywiście byłoby praktycznie równoważnym z obciążeniem zwykłej płomienicy zewnętrznym ciśnieniem pary o stosownie dobranej wielkości. Takie badanie dałoby się wykonać w Laboratoriach Wytrzymałościowych Politechniki Warszawskiej.

Inż. EUGENJUSZ WOLNIEWICZ i Inż. ADAM EMIL SIERZPUTOWSKI.

O NOWOCZESNYCH SPOSOBACH POMIARU TEMPERATURY.

(Por. *Technika Ciepłna*, str. 128, 1934 r.).

6. Termoelementy.

D. Druty termopary.

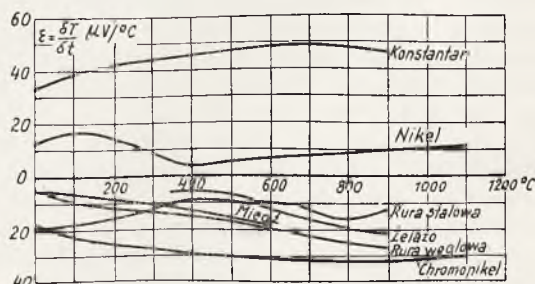
Wybór drutów termopary zależy przede wszystkim od ich przeznaczenia. Uwzględniamy przy tym następujące czynniki: 1) możliwie duża SEM , 2) ciągły wzrost SEM z temperaturą, 3) niezmienność przy długotrwałym nagrzaniu, jaknajmniejsze spalanie się, długość, 4) cena, 5) wymiennność.

Warunek pierwszy jest zrozumiały, bowiem przy większej SEM można używać tańszych galwanometrów i pomiar jest dokładniejszy.

Drugi warunek jest nieodzowny ze względu na wskazania galwanometru i musi być uwzględniony, istnieją bowiem termopary (szczególnie stopy kobaltu), przy których występują punkty neutralne, gdzie w małych obszarach temperatur SEM się wcale nie zmienia, potem ze wzrostem temperatury nawet spada. Rys. 31 wskazuje przebieg przyrostu SEM z temperaturą dla różnych materiałów w odniesieniu do platyny. Dla żadnego materiału dE/dt nie jest stałe — SEM

nie rośnie więc po linii prostej z temperaturą. Charakterystyczne są punkty przełomowe krzywych dla żelaza, niklu i stali.

Trzeci warunek jest dla przemysłowych pomiarów najważniejszy. Jest on w całości spełniony tylko wówczas, jeśli się używa termopary daleko poniżej granicy temperatur



Rys. 30

Zmiana przyrostu SEM z temperaturą dla różnych materiałów w odniesieniu do platyny.

w jakich ona może pracować. Długość termopar zależy od odpowiedniej ochrony drutów przez szczelne na gaz rury ochronne, mniej od właściwego spalania lub przy niektórych termoelementach (głównie irydowych) od sublimowania drutów termopary.

Czwarty warunek ma znaczenie w przemyśle i ze względu na koszty inwestycji

¹⁾ Por. np. M. T. Huber. — Wzór wytrzymałościowy dla rur narażonych na ciśnienie zewnętrzne. *Przegląd Techniczny* 1926.

i na możliwość kradzieży, jeśli chodzi o metale szlachetne.

Piąty warunek jest także ważny w przemyśle. Wszystkie termoelementy zużywają się po pewnym czasie i muszą być zastąpione nowymi. Z tem zaś jest związana zawsze kwestja przewzorcowywania galvanometru. Wprawdzie technika stopów jest już w możności przygotowywać materiały z różnych szarż z dokładnością w granicach tolerancji 6 — 10° C, jednakże lepiej jest w tym celu, jeśli się w ogóle nie chce uniknąć każdorazowego przewzorcowywania galvanometru, nabywać od razu większy zapas materiału na termopary z tego samego wytwórcy.

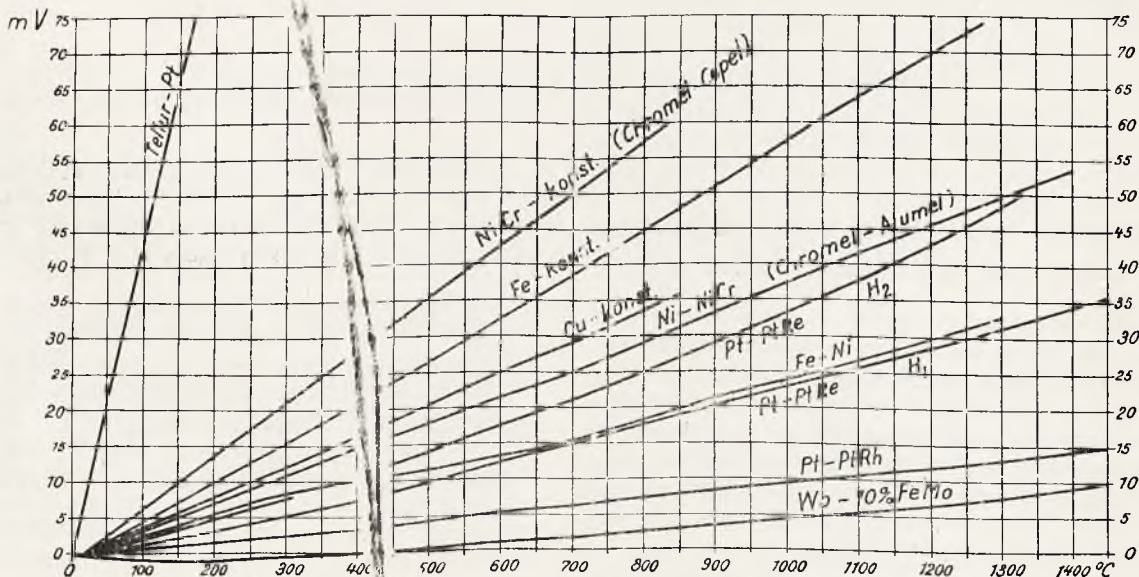
Następującej tablicy uszeregowane są najczęściej spotykane metale na termopary według wywiązanych SEM w odniesieniu od platyny w $mV/100^{\circ}C$. SEM zależy w dużym stopniu od czystości metalu lub w stopach od ich składu chemicznego. By odpowiedzieć warunkom wymagany przez praktykę skład stopów musi być niejednokrotnie pewnym do kilku setnych procentu. Największe SEM otrzymamy oczywiście zestawiając z sobą najbardziej skrajne metale w tym szeregu, a więc bizmut-tellur lub krzem. SEM takich termopar docodzi do 60 $mV/100^{\circ}C$, i jest około 10 razy większa od pozostałych termopar, dających dużą SEM. Niestety, ani bizmut ani tellur nie dają się wytwarzać w formie drutów i posiadają poza tem duży

opór, tak że ich zastosowanie musi się ograniczyć tylko do pomiaru energii promieniowania w pirometrych optycznych (przy ogrzewaniu poniżej 100° C).

Uszeregowanie termoelementów.

W odniesieniu do platyny. W $mV/100^{\circ}C$.

METAL	SEM
Bizmut równolegle do osi	- 7,7
" prostopadle do osi	- 5,0
Konstantan	- 3,47 ± 3,04
Kobalt	- 1,99 ± 1,52
Nikiel	- 1,94 ± 1,20
Palladium	+ 0,28
Platyna	+ 0,0
Węgiel	+ 0,25 ± + 0,30
Aluminiujum	+ 0,37 ± + 0,41
Wolfram	+ 0,65 ± + 0,90
Rhod	+ 0,65
Srebro	+ 0,67 ± + 0,79
Miedź	+ 0,72 ± + 0,77
Manganin	+ 0,57 ± + 0,82
Irydium	+ 0,65 ± + 0,68
Złoto	+ 0,56 ± + 0,80
Molibden	+ 1,16 ± + 1,31
Zelazo	+ 1,87 ± + 1,89
Chromnikiel	+ 2,20
Antymon	+ 4,7 ± + 4,86
Krzem	+ 44,8
Tellur	+ 50,0



Rys. 31
Charakterystyki termoelementów.

Rys. 31 ilustruje przebieg charakterystyk termoelementów najczęściej spotykanych. Termopary pokazane zostały wywzorcowane dla temperatury zimnych spójnej 20° C — stąd przecinają one oś temperatury nie w środku układu współrzędnych lecz przy 20° C.

Zależnie od materiału użytego na druty rozróżniamy termoelementy szlachetne i nieszlachetne. Do pierwszych zalicza się metale z grupy platyny (Pt, Rh, Ir, Pallad, Ruthenium), czasem złoto i srebro. W nazwie „termoelementy szlachetne i nieszlachetne” kryje się

więcej wzgląd na cenę materiału niż odporność na temperatury i korozję. Największe techniczne znaczenie mają następujące grupy:

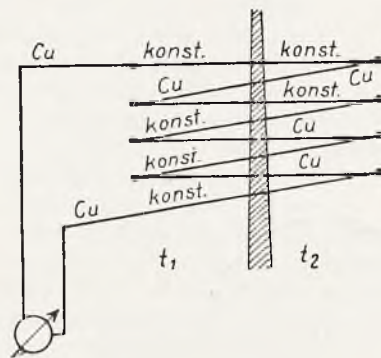
Cu—konstantan, *Ag* — konstantan, Manganin — konstantan (Chromel—Copel) do temp. 600 °C
NiCr—konstantan (najwięk. *SEM*) „ 700 °C
Fe — konstantan „ 700 °C
Ni — *NiCr* (Chromel — Alumel) „ 1200 °C
Pt — *PtRh* „ 1300 °C
IrRh — *IrRuthenium*, *Ir* — *RhIr* „ 2000 °C

Niektóre z termopar mogą być używane tylko w atmosferze redukującej lub obojętnej. Największe znaczenie posiada dla niskich temperatur żelazo — konstantan oraz nikiel — nikielchrom, a dla wyższych *Pt* — *PtRh*.

By móc używać tego samego galwanometru dla termopary *Pt* — *PtRh* oraz innych termopar dla niższych temperatur, zostały stworzone stopy, które dają taką samą *SEM* jak *Pt* — *PtRh*. Są to stopy niklu z chromem, które mogą być używane do 1000 °C oraz niklu z miedzią do 400 °C (przewody kompensacyjne).

Najodpowiedniejszym obszarem temperatur dla termoelementów jest 300 — 1200 °C wzgl. krótko do 1600 °C przyczem w tym górnym zakresie wypierane są one przez pirometry optyczne. Przy niższych temperaturach wywiązywane *SEM* są za małe dla poruszania silnych przemysłowych galwanometrów. W po-

łączeniu z odpowiednimi galwanometrami używane bywają termoelementy i w niższych temperaturach, tam gdzie odgrywają rolę ich zalety w stosunku do termometru oporowego,



Rys. 32

Szeregowo włączone cztery termoelementy dla pomiaru różnicy temperatur.

a więc małe rozmiary, mała bezwładność, brak źródła energii promienistej. Tam gdzie *SEM* jest za mała stosuje się szeregowe połączenie kilku elementów. Rys. 32 przedstawia takie szeregowe połączenie w szczególnym zastosowaniu do pomiaru różnicy temperatur dwóch miejsc, np. wnętrza i zewnętrznego otoczenia przewodu parowego dla kontroli strat ciepła.

(D. c. n.).

KRONIKA TECHNICZNA

Ig. Gr.

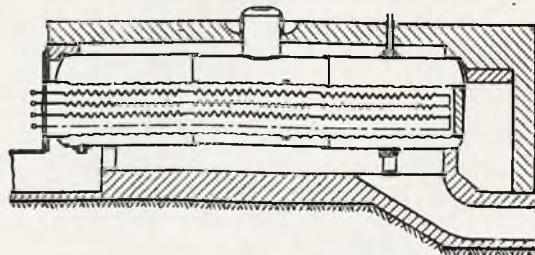
Wyniki próby zastosowania prądu elektrycznego do wytwarzania pary w kotle płomienicowym.

Do wytwarzania pary w kotle płomienicowym użyto prąd elektryczny trzyfazowy 500 voltów i 50 okresach na sek. Kocioł znajdował się we wspólnym obmurowaniu z dwoma sąsiednimi kotłami i miał następujące wymiary: długość walczaka — 7600 mm, średnica — 1700; rura płomienicowa o średnicy — 1000 mm. Powierzchnia ogrzewalna po stronie ogniowej — 26,3 m² wobec całej powierzchni kotła — 54,9 m², ciśnienie robocze 10 atn. Rys. 1 uwidacznia urządzenie elektryczne.

Za powierzchnię ogrzewalną (po stronie ogniowej) służyła tylko wewnętrzna powierzchnia rury płomienicowej, gdyż wylot tej rury został zamurowany — obydwie więc ciągi zostały odłączone; przednią część rury płomienicowej, przez którą wprowadzono przewody do grzejników, zamknięto pokrywą z podwójnych blach dla uniknięcia strat ciepła — nie założono jednak żadnej izolacji i niestawiano się o uszczelnienie obmurowania.

W rurze płomienicowej umieszczono na żelaznej ramie grzejniki z drutu chromoniklowego o grubości 3 mm., zwinięte w spirale, łącząc je u tylnej ściany

w gwiazdę, skąd zerowym przewodem odprowadzono prąd poprzez pokrywę w czołowej ścianie kotła. Dopływ prądu można było dowolnie regulować. Temperatura grzejników wynosiła około 800° C. Instalacja



Rys. 1

pracuje od dłuższego czasu przy zmianie grzejników co trzy lata.

Otrzymano następujące wyniki.

Przy temperaturze wody zasilającej, mierzonej u wlotu, — 11° C., ciśnieniu roboczym — 6,5 atn otrzymano — 550 kg pary na godzinę; odparowalność na m² powierzchni ogrzewalnej wyniosła — 10 kg na godzinę; na kilowatgodzinę — 1,273 kg pary, (a po przeliczeniu na parę 630 kcal/kg — 1,294 kg).

Temperatura w kotłowni wynosiła 22° C., temperatura pokrywy, zamykającej rurę płomienicową 60° C. Ogólna strata na promieniowanie przez pokrywę i zamknięcie rury płomienicowej, stanowiących razem powierzchnię o 4,5 m², dała ok. 2.560 kcal. na godzinę. Stosując izolację dla pokrywy i wylotu rury płomienicowej możnaby podwyższyć sprawność o 0,5%.

Bilans ciepła	kcal	%
Na jedną kilowattgodzinę przekazano ciepły	860	100
Ciepło, wykorzystane dla produkcji pary Staty przez promieniowanie	826,25	96,1
a) od ściany czołowej	5,93	0,68
b) przez obmurze	27,82	3,22

Otrzymana wydajność kotła — 10 kg na m² i godzinę wynosi zaledwie około 1/3 wydajności kotła przy zastosowaniu węgla jako paliwa. Sprawność równa się 96,1%, co wobec małego kosztu urządzenia jest rezultatem niewiele gorszym, niż w kotłach zwykłych, ogrzewanych elektrycznością.

Urządzenie tego rodzaju powinno znaleźć zastosowanie w siłowniach węglowych lub wodnych tam, gdzie to kalkulacyjnie będzie przedstawiało się korzystniej w porównaniu do paliwa stałego, oraz tam, gdzie za pewną ilość energii elektrycznej należy zapłacić, a wykorzystać jej nie można dla zwykłych celów oświetlenia i napędu. Ze względu na prostotę—urządzenie to można bez wielkich wysiłków i kosztów usunąć, a palenisko przywrócić do pierwotnego stanu.

Ig. Gr.

Czyszczenie kotłów parowych strumieniem piasku.

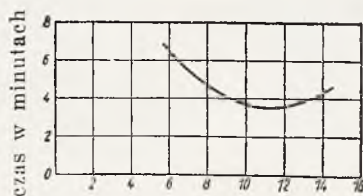
Metoda czyszczenia kotłów parowych strumieniem piasku pod ciśnieniem nie znalazła dotąd dużego zastosowania z obawy o uszkodzenie blach kotłowych. W celu zbadania tego zagadnienia poddano blachę żelazną kotłową o grubości 5 mm na długości 120 mm działaniu strumienia piasku w ciągu 40 minut. Próba wykazała zmniejszenie grubości zaledwie o pół mm, powierzchnia blachy pozostała jednak równą. Według obliczeń trzeba by zastosować 5000 uderzeń (bombardowań), w czasie krótszym niż jedna sekunda, każde na czystą powierzchnię blachy, by grubość jej zmniejszyła się o 1 mm. Blachy miedziane o tychże wymiarach, badane w identycznych warunkach, dały inne rezultaty. Po sześciu minutach pracy strumienia piasku blacha wygięła się do wewnątrz. Podobne objawy otrzymano przy badaniu rur miedzianych i mosiężnych; i w tych wypadkach otrzymano nieznaczne wygięcie blachy włąb rury. Natomiast zwykła płomieniówka żelazna, poddawana próbie w ciągu tegoż okresu czasu, co i blacha żelazna, nie wykazała żadnej deformacji, lecz tylko nieznaczne zużycie. Blachy żelazne cienkie 1 mm zachowały się analogicznie, jak mosiężne i miedziane, ulegając zniekształceniu.

Czas, potrzebny do przebicia blachy, zależy od

odległości dyszy od blachy. Przy próbach z piaskiem reńskim przy użyciu dyszy o prześwicie 8 mm i ciśnieniu 3 atn otrzymano następujące liczby dla czasu do przebicia blachy.

piasek	czas w minutach		
	gruboziarnisty	drobnoziarnisty	średnioziarnisty
Odległość — 25 cm	5	4	3,5
„ — 50 cm	25	17	13

Przy następnych próbach zmieniono przekrój dyszy, rezultaty przy użyciu piasku o średniej grubości ziaren ilustruje — rys. 1.



Średnica dyszy w mm

Rys. 1

Tworzący się podczas pracy pył piaskowy wyciąga od strony ogniowej — komin, natomiast po stronie wodnej należy go usuwać przez działanie ebshausatora. Robotnik musi pracować w masce ochronnej. W wielu wypadkach wystarcza hełm bez dopływu świeżego powietrza jednak z filtrem wilgotnym, oczyszczającym powietrze do oddychania. Hełm z dopływem powietrza jest więcej wskazany. Według twierdzenia firm, zajmujących się oczyszczaniem kotłów, metoda ta kalkuluje się taniej od innych.

Wirujący podgrzewacz wody¹⁾.

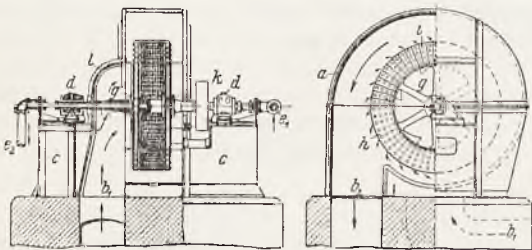
Pierwszy podgrzewacz wirujący, zbudowany w fabryce maszyn Simmon w Wiedniu, został zainstalowany w jednej z papierni w Niemczech w r. 1927 (rys. 1).

Do przewierconego wału przymocowane są dwa koła stalowe, którego ramiona służą jako komory wodne, do których wchodzi woda zasilająca przez wydrążony wał i ramiona. Oba koła są połączone grubościennymi rurami miedzianymi, które posiadają hydraulicznie wprasowane żebra z blachy stalowej. Rury te są rozwalcowane w ścianach obu kół, a po drugiej stronie ścian sitowych dane są korki zamykające. Na

¹⁾ Archiv für Wärmewirtschaft Nr 2, r. 1934.

obu końcach przewierconego wału znajdują się umocowane na kołnierze wymienne czopy, smarowane systemem Bosch'a. Gazy spalinowe, zassane do środka przez wirnik, dostają się poprzez żebra rur do osłony i odprowadzane są króćcem wylotowym do kanału dymowego. Choć duże szybkości, z jakimi się obraca powierzchnia ogrzewalna podgrzewacza, nie pozwalają na osadzanie się sadzy i popiołu na rurkach, umożliwiając jednak czyszczenie powierzchni ogrzewalnej podczas ruchu zapomocą dmuchawek. Para wytworzona w rurkach podgrzewacza zostaje ruchem wirującym oddzielona od wody i odprowadzona do przewodu zasilającego kocioł, nie wywołując przepalania rurek.

Tego rodzaju podgrzewacz oprócz dużego współczynnika przejścia ciepła, umożliwia zainstalowanie podgrzewacza zupełnie niezależnie od istniejącego ciągu i posiadanego miejsca w kotłowni.



Rys. 1.

Przekrój wirującego podgrzewacza.

a—osłona, *b*₁—wejście spalin, *b*₂—wyjście spalin, *c*—podstawa łożysk, *d*—łożyska, *e*₁—wlot wody, *e*₂—wylot wody, *f*—wał przewiercony, *g*—koło wirujące, *h*—wieniec, *i*—rury miedziane, *k*—koło pasowe, *l*—izolacja.

Zainstalowanie takiego podgrzewacza zdecydowała ta okoliczność, że w kotłowni brak było miejsca na ustawienie podgrzewacza innego rodzaju i komin nie wytwarzał potrzebnego ciągu. Instalacja kotłowa składała się z dwóch kotłów Tischbeina, każdy o powierzchni ogrzewalnej 220 m² i ciśnieniu 12 atn, oraz jednego kotła Babcock-Wilcox o 168 m² pow. ogrzewalnej i 12 atn. Ze względu na rozmieszczenie kominów (dla trzech kotłów były dwa kominy) można było do podgrzewania wody zasilającej wykorzystać gazy wylotowe tylko dwóch kotłów. Pomimo to podgrzewacz wirujący dostarczył wody zasilającej dla wszystkich trzech kotłów o średnim ogrzaniu 52,3^o C, a odparowanie wynosiło 6,7 kg/kg.

Fabryka budująca przed oddaniem podgrzewacza do ruchu przeprowadziła 25 badań, które wykazały, że zainstalowanie tego rodzaju podgrzewacza daje 14,4% oszczędności na węglu. Firma instalująca gwarantowała 10% oszczędności na węglu i mimo niekorzystnych warunków ruchowych (wykorzystano tylko spaliny z dwóch kotłów) gwarancja była nawet przekroczona in plus. Dla 6 t/godz wody zasilającej, temperatury spalin 290^o C, 9 do 10% zawartości CO₂ i 800 kg/godz spalnego węgla o wartości opałowej dolnej 6500 Kal/kg, gwarantowane było ogrzanie wody zasilającej z 80 na 140^o C. Odpowiada to odbiorowi ciepła 6000 · 60 = 360.000 Kal/godz, gdy tymczasem podczas pomiarów osiągnięto

8300 · 53,2 = 440000 Kal/godz, chociaż temperatura spalin była niższa i co najważniejsze, ilość spalin w porównaniu do ilości wody zasilającej była znacznie mniejsza.

Zachowanie się podgrzewacza w ruchu było bez zarzutu i wydajność jego pozostała niezmienną, gdyż powierzchnia ogrzewalna (żeberka) nie zanieczyszczała się. Woda zasilająca miała połowę kondensatu i połowę nieoczyszczonej wody surowej o twardości 15^o niemiekkich. Podczas oczyszczania rur podgrzewacza stwierdzono tylko miękkie osady szlamu. W samych kotłach przeciwko osadzaniu się kamienia stosowany był sposób elektryczny, który nie ma żadnego wpływu na podgrzewacz. Każda rura jest łatwo dostępna i oczyszczenie rur ze szlamu daje się przeprowadzić bez żadnych trudności.

Podgrzewacz wirujący robi 390 obr/min i jest napędzany motorem elektrycznym o mocy 8 kW; zużycie siły podczas normalnego ruchu wynosiło średnio 8 KM.

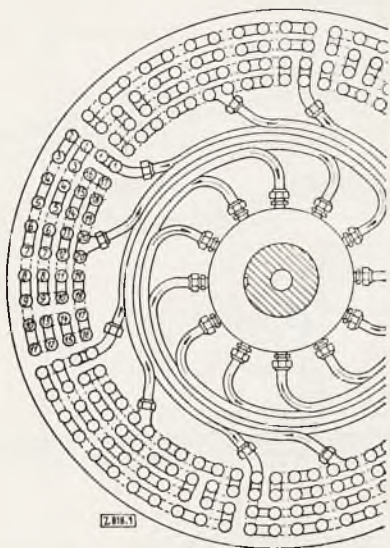
Konstrukcja podgrzewaczy wirujących była w następnych latach ulepszana i dotychczas zainstalowano tego rodzaju podgrzewacze w przeszło stu instalacjach kotłowych. W Nr 30 V. D. I. str. 914 r. b. podane są spostrzeżenia zachowania się podgrzewaczy wirujących w ruchu.

W jednej z kotłowni huty w Düsseldorfie składającej się z trzech kotłów wodnorurkowych, zbudowanych w r. 1912 (każdy o powierzchni ogrzewalnej 200 m², pow. rusztu mechanicznego 6,3 m² i ciśnieniu 12 atn) zainstalowano na miejsce istniejącego podgrzewacza wody o rurkach gładkich, podgrzewacz wirujący. W pierwszym roku podgrzewacz ten pracował 7860 godzin, równą ilości godzin pracy kotłów.

Końcowe czopy przewierconego wału, które tworzą zamknięcia dla doprowadzenia i odprowadzenia wody, używały się równomiernie. Konstrukcja podgrzewacza umożliwia zapomocą śrub i klinów, przesuwanie czopów w kierunku poziomym i pionowym i w ten sposób dają się wyrównać wszelkie odchylenia. Dla temperatur wody na wejściu 50 – 70^o C i na wyjściu 140 – 190^o C szczelność czopów po stronie wlotu była zachowana w czasie 5500 godz ruchu, po stronie wylotu w czasie 2800 godz ruchu. Oliwa do smarowania czopów doprowadzana jest pod ciśnieniem. Podgrzewacz pracuje pod ciśnieniem 13 atn i nie stwierdzono podczas czyszczenia kotła po 12800 godz pracy najmniejszego nawet śladu oliwy w kotle.

Na rys. 2 uwidocznione jest połączenie rur w grupy, jednego z ostatnio wykonanych tego rodzaju podgrzewaczy. Woda po przejściu wydrążonego wału rozdzielona jest na 6 strumieni symetrycznych do wału. Gwarantuje to równomierny bieg i jednakowe podgrzewanie we wszystkich grupach rur. Ilość obrotów podgrzewacza wynosi 265 – 300 obr/min. W pierwszym roku pracy rurki podgrzewacza były oczyszczane 3 razy zapomocą szcetek. Powierzchnia ogrzewalna (żeberka) była codziennie czyszczona dmuchawkami parowymi. Choć wirnik z rurkami nie posiada żadnych specjalnych łopatek, ciąg za kotłami na wejściu do podgrzewacza wynosił 28 mm sł. wody podczas pełnego obciążenia, przy zawartości 12% CO₂ w spalinach. Zapotrzebowanie mocy wynosiło 19 – 21 KM, czas rozruchu 8 minut.

Spalając orzech IV normalna wydajność z 1 m² oczyszczonego kotła z podgrzewaczem zwykłym o rurkach gładkich wynosiła 25 ÷ 28 kg/m² i godz. Zainstalowanie podgrzewacza wirującego umożliwiło spalanie



Rys. 2.

Schemat podgrzewacza wirującego od strony wypływu wody. Liczby 1 do 20 oznaczają kolejność rur jednej grupy, w jakiej przepływa woda.

tańszego, drobnego węgla i normalne odparowanie wyniosło 24, max 30 ÷ 32 kg/m² i godz. przy czym zużycie rusztu znacznie się zmniejszyło.

Główna jednak korzyść instalowania podgrzewa-

cza wirującego wynika z możliwości spalania drobnego tańszego węgla zamiast drogiego orzecha. Dla instalacji kotłowej o miesięcznej wydajności pary ~ 7000 t. koszt zainstalowania podgrzewacza wirującego można było zamortyzować oszczędnością na węglu w przeciągu 10 — 12 miesięcy pracy.

O nowych wynikach ruchowych podaje dr. Adolf Rasch, Kladno ¹⁾. Wyniki te osiągnięto na dwóch podgrzewaczach wirujących, z których każdy wyzyskuje ciepło spalin dwóch kotłów wodnorurkowych o 250 m² powierzchni ogrzewalnej każdy i 7,6 m² powierzchni rusztu. Podgrzewacz (I) jest w ruchu od lipca 1929 r., (II) od grudnia 1931 r. Wielkości charakterystyczne tych podgrzewaczy zestawione są w tablicy 1, a najważniejsze wyniki z ruchu podaje tablica 2. Ostatnio przeprowadzono badania podgrzewacza wirującego kotła opalanego pyłem węglowym, które wykazały 18% oszczędności na paliwie.

T A B L I C A 1

PODGRZEWACZ		I	II
Powierzchnia ogrzew.	m ²	490	560
Wewnętrzna powierzchnia miedzianych rur	m ²	27	25,9
Wydajność wody zasilającej	t/godz.	8	9,1
Średnia szybkość przepływu wody	m/s	0,4	0,36 — 0,4
Liczba obrotów podgrzewacza	obr/min	220	280
Zapotrzebowanie mocy	KM	14,8	15,0

T A B L I C A 2.

Całkowita pow. ogrzew. dwóch kotłów 500 m ² , całkowita powierzchnia rusztu 15,2 m ²	z podgrzewaczem	bez podgrzewacza	z podgrzewaczem	bez podgrzewacza	
	II	II	I i II	I i II	
Czas pomiaru	godz.	3	4	5	6
Paliwo		miat węglowy		węgiel brunatny	
Wartość opałowa	Kal/kg	4662	4614	3510	3488
Zużycie węgla na kocioł	kg/godz.	1054	1171	1073	1028
Zużycie węgla na m ² pow. rusztu	kg/godz.	138	154	141	135
Ilość wody zasilającej na kocioł	kg/godz.	4627	6087	3664	4222
Ilość wody zasilającej na m ² pow. ogrzewalnej	kg/godz.	18,5	24,1	14,7	16,9
Temper. wody zasilającej przed podgrzewaczem	°C	41	48	43	45
Temperatura wody zasilającej za podgrzewaczem	°C	—	126	—	125
Ciśnienie pary	atn	11,9	12,7	11,5	11,3
Temperatura pary	°C	328	311	327	310
Odparowanie	kg/kg	4,39	5,16	3,42	4,11
Ciepło wykorzystane z 1 kg paliwa	Kal/kg	3078	3537	2392	2830
Sprawność kotłów	%	66,1	76,6	68,1	81,1
Ciepło potrzebne do wytworzenia 1 kg pary	Kal/kg	70,3	685,4	699,2	688,6
Oszczędność na paliwie odniesiona do równej wartości opałowej i jednakowej ilości ciepła potrzebnego do wytworzenia 1 kg pary	%	—	16	—	19

Ekonomiczne małe kotły ¹⁾.

Postęp, jaki osiągnięto w czasach powojennych w budowie dużych kotłów i w budowie palenisk, a który pociągnął za sobą dość znaczne zmniejszenie kosztów zakładowych i eksploatacji, dopiero stosunkowo później dał się zauważyć w budowie małych kotłów. Małe, ekonomiczne kotły i stosunkowo tanie pojawiły się na rynku dopiero w ostatnich latach.

Do kategorii kotłów małych może być zaliczony również kocioł typu holenderskiego ²⁾. Często stosowany przy tym kotle ruszt Doby-Stockera daje dobre i bezdymne spalanie, umożliwiające używanie różnych paliw. Zamiast najczęściej spalanych na rusztach płaskich węgla tłustych i węgla o dużej zawartości gazów (orzecz I do III), na rusztach Doby-Stockera można spalać również orzech drobniejszy i drobny płukany węgiel. Natomiast dla węgla o dużej zawartości popiołu (ponad 10%), jak i dla węgla ubogich w gazy, ruszt ten już w mniejszym stopniu może mieć zastosowanie.

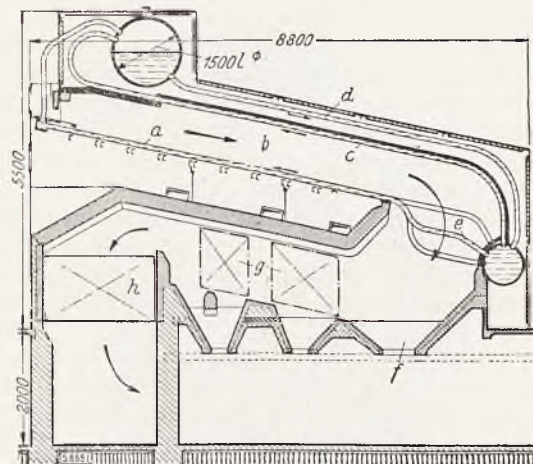
Zupełnie nowym i odrębnym kotłem dla małych instalacji jest kocioł opromieniowany Graafena (rys. 1). Jest to kocioł wodnorurkowy w konstrukcji swej bardzo podobny do kotła płomieniowego, posiada on bowiem bardzo niską długą komorę paleniskową.

Węgiel jest spalany na ruszcie, którego rusztowiny chłodzone są rurami kotła, a nie jak zwykle, doprowadzaniem do spalania powietrzem. Każda rusztowina znajduje się między dwiema rurami i posiada noski, umożliwiające ich przesuwanie. Rusztowiny są na wózku i ruch ich wprzód i wtył posuwa stopniowo węgiel do tyłu.

Spaliny prowadzone są równoległe do rusztu, oddając ciepło przez promieniowanie powierzchni ogrzewalnej ułożonej wokoło komory paleniskowej. Przegrzewacz pary i podgrzewacz wody znajdują się w kanale pod rusztem.

Nowy ten kocioł łączy w sobie wszystkie zalety kotła wodnorurkowego (duże odparowanie w m^2 pow. ogrzew., dużą elastyczność, wysoką sprawność i małe zapotrzebowanie miejsca), oraz korzyści kotła płomieniowego (oddawanie ciepła przez promieniowanie, prosta i tania budowa, małe zanieczyszczenie sadzą i popiołem wskutek równoległego do powierzchni ogrzewalnej prowadzenia spalin). Do tych zalet kotła Graafena dochodzą jeszcze następujące: ruszt chłodzony umożliwia spalanie nieplukanych węgla o dużej zawartości popiołu (w kilku instalacjach spalany jest węgiel posiadający $\sim 40\%$ popiołu); koszty ruchome są niskie, ponieważ prawie niema obmurza ogniotrwałego i przepalanie rusztowin wobec chłodzenia jest małe; straty promieniowania są minimalne, gdyż brak jest obmurza, magazynującego ciepło (komora paleniskowa jest całkowicie zamkniętą powierzchnią ogrzewalną); straty przy postoju kotła są niskie.

Właściwości kotła Graafena wskazują, że nadaje się on specjalnie dla ruchu o jednej zmianie robotników na dobę.



Rys. 1

Kocioł opromieniowany Graafena o wydajności pary 10 t/godz.

- a — ruszt chłodzony,
- b — komora paleniskowa,
- c — górna powierzchnia ogrzewalna,
- d — nieogrzewane rury opadowe,
- e — miejsce połączenia rur rusztowych z walczykiem,
- f — lej dla popiołu,
- g — dwudzielny przegrzewacz,
- h — podgrzewacz wody.

Na kilku wykonanych instalacjach stwierdzono, że tego rodzaju kotły o wydajności 7 do 10 t/godz. kosztują około 6000 do 7000 RM/t i godz., gdy tymczasem obecnie koszt kotłów wodnorurkowych o tej samej wydajności wynosi 10000 do 12000 RM/t i godz.

W tabelicy 1 zestawiono wymiary i wydajności kotła Graafena i kotła wodnorurkowego z sekcjami komorami o mniej więcej równych wydajnościach ¹⁾.

Jak widać z powyższej tabelicy, kocioł opromieniowany Graafena potrzebuje tylko $\sim 25\%$ obmurza i $\sim 42\%$ powierzchni obmurowanej kotła normalnego, wskutek czego kotłownia, urządzenia do nawęglania i t. d. wypadają znacznie taniej.

Sprawność tego rodzaju kotłów otrzymana podczas kilku badań odbiorczych wyniosła 80 — 85% i straty postoju były bardzo niskie.

Możliwość spalania w tym kotle tańszych nieplukanych sortymentów węgla o dużej zawartości popiołu i niskie jego koszty ruchu powodują, że nowy ten rodzaj kotła spełnia wszystkie wymagania, jakie stawiane są instalacji kotłowej dla małych i średnich zakładów. Zainstalowane tego rodzaju kotły w kilku zakładach doświadczalnych w zagłębiu węglowym Zwickau (Niemcy), w okresie kilkoletniego ruchu, potwierdziły wszystkie ich zalety.

¹⁾ Archiv für Wärmewirtschaft Nr. 5, r. 1934.

²⁾ Technika Ciepła, r. 1932, str. 11.

¹⁾ Por tabela 1, str. 149.

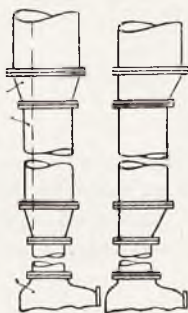
T A B L I C A 1.

	Kocioł wodnorurkowy	Kocioł opromieniowany Graafena
Wydaźność t/godz.	7,2	8,0 (7,2) ¹⁾
Szerokość m	3,0	2,4 (2,16)
Wysokość m	9,5	4,8 (4,3)
Długość m	9,9	10,3 (9,3)
Powierzchnia zajmowana przez kocioł m ²	29,7	24,7 (22,2)
Objętość obmurowana m ³	280	131 (118)
Powierzchnia obmurza m ²	275	147 (132)
Wydaźność odniesiona do szerokości kotła t/m i godz.	2,4	3,33
Wydaźność odnies. do zajmowanej objętości t/m ³ i godz.	25,7	61

A. W.

Przyczyna zmniejszenia wydajności pompy¹⁾.

Pompa odśrodkowa o wydajności 2250 l/min posiadała bardzo długi przewód ssący z żelaza lanego. Celem zmniejszenia tarcia przepływu zastosowano rurowiąg o różnych średnicach 250, 200 i 150 mm. Początkowo do zmiany średnic rurowiągu zostały użyte dwie stożkowe części, jak to wskazuje rys. 1.



Rys. 1 i 2

Zmiana przewodu zapobiegająca zmniejszeniu wydajności pompy.

Po uruchomieniu pompa tłoczyła pełną wydajność, która bez żadnego uszkodzenia w pompie w ciągu godziny spadła na 1000 do 1100 l/min. Dopiero badanie wykazało, że w górnej części przewodu ssącego o średnicy 200 i 250 mm tworzyły się kieszenie powietrzne, które podczas pracy pompy działały hamująco i przez to wydajność tłoczenia spadała. Zamiana stożkowych części rurowiągu na ekscentryczne, jak to wskazuje rys. 2, podniosła wydajność pompy do wartości początkowej.

A. W.

¹⁾ Die Wärme Nr. 28 r. 1934.

Sprawdzanie przyrządów do mierzenia ilości przepływu²⁾.

Do pomiarów ilości przepływu pary, gazu lub cieczy są stosowane przeważnie przyrządy, w których ilość przepływu wyznacza różnica ciśnień, jaka powstaje w miejscu zwężenia strumienia. Ta różnica ciśnień jest w określonym stosunku do ilości przepływu. Oznaczając Q —ilość przepływu, H —różnicę ciśnień wytworzoną przyrządem spiętrzającym (dysza lub kryza) i C —stałą przyrządu pomiarowego, zależność między ilością przepływu i różnicą ciśnień wyraża równanie:

$$Q = C \sqrt{H}$$

Dla każdego przyrządu spiętrzającego znana jest największa ilość przepływu (Q_{max}) i odpowiadająca temu przepływowi różnica ciśnień (H_{max}). Między temi wielkościami i dowolną (mniejszą od Q_{max}) ilością przepływu zachodzi więc zależność:

$$\frac{Q}{Q_{max}} = \frac{\sqrt{H}}{\sqrt{H_{max}}}$$

gdzie H — różnica ciśnienia odpowiadająca przepływowi Q .

Z równania tego można określić:

$$Q = \frac{Q_{max}}{\sqrt{H_{max}}} \cdot \sqrt{H}$$

¹⁾ Cyfry podane w nawiasach wyrażają wartości przeliczone na wydajność 7,2 t/godz kotła wodnorurkowego.

²⁾ Die Wärme Nr 19, r. 1934.

Zwykle tylko H_{max} podawane jest w mm sł. wody, natomiast już H —w mm sł. rtęci i w tym przypadku:

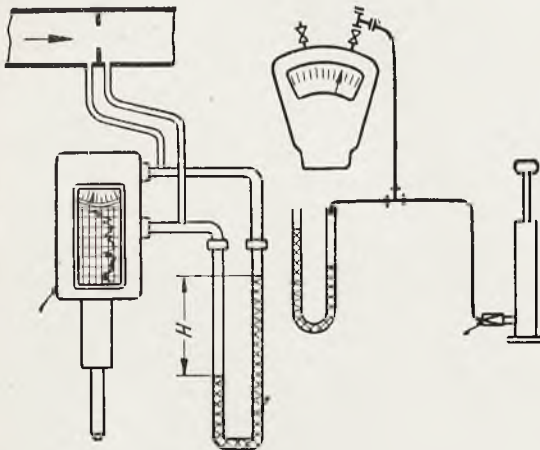
$$Q = \frac{Q_{max} \cdot \sqrt{H \text{ (mm sł. rtęci)}}}{\sqrt{H_{max} \text{ (mm sł. wody)}} \cdot 13,6}$$

albo:

$$Q = \frac{Q_{max} \cdot \sqrt{13,6}}{\sqrt{H_{max} \text{ (mm sł. wody)}}} \cdot \sqrt{H \text{ (mm sł. rtęci)}} \quad (1)$$

Z równania (1) można obliczyć ilość przepływu, jeżeli w przewod włączona jest dysza lub kryza o znanych wartościach H_{max} i Q_{max} , mierząc różnicę ciśnień zapomocą dostosowanej do tego celu U -rurki napelnionej rtęcią.

Ten sposób jest najprostszym i najdokładniejszym pomiarem ilości przepływu i dlatego manometr różnicowy (U -rurka) nadaje się doskonale do sprawdzania dokładności wskazań wszelkiego rodzaju przyrządów pomiarowych, pracujących na zasadzie różnicy ciśnień, a więc np. gazomierzy i paromierzy samopiszących. Tego rodzaju sprawdzanie można wykonać w dwojaki sposób:



Rys. 1 i 2.

Sprawdzanie przyrządu do mierzenia ilości przepływu bez wyłączenia przyrządu z ruchu. Równoległe do przyrządu, który ma być sprawdzony, włącza się manometr rtęciowy (U -rurkę), jak to wskazano na rys. 1, mierząc dla każdego przepływu różnicę słupków rtęci w dwóch ramionach U -rurki. Dla określonej różnicy ciśnień H , oblicza się ilość przepływu Q , którą można porównać z odczytaną ilością przepływu na sprawdzanym przyrządzie pomiarowym.

Do obliczenia ilości przepływu gazu miarodajne jest równanie (1), do pomiaru ilości pary lub wody równanie to jednak nie może mieć zastosowania. Przy pomiarze tych czynników znajduje się w U -rurce po

jednej stronie większy o H_{mm} słup wody i dla tych przypadków zachodzi zależność:

$$p_1 + H \cdot 1 = p_2 + H \cdot 13,6$$

$$p_1 - p_2 = 12,6 \cdot H$$

Dlatego do pomiaru ilości pary i wody wyznacza się różnicę ciśnień w mm sł. wody, a więc zmierzoną różnicę słupków rtęci należy pomnożyć przez 12,6. Np. chcąc sprawdzić wskazania paromierza o $H_{max} = 6000$ mm sł. wody dla przepływu Q_{max} , różnica słupków rtęci w U -rurce wyniesie:

$$\frac{6000}{12,6} = 476 \text{ mm}$$

Ilość przepływu pary lub wody oblicza się z równania:

$$Q = \frac{Q_{max} \cdot \sqrt{12,6}}{\sqrt{H_{max} \text{ (mm sł. wody)}}} \cdot \sqrt{H \text{ (mm sł. rtęci)}} \quad (2)$$

Dla uproszczenia rachunku, w równaniach (1) i (2) wartości stałe wyraża się jedną cyfrą, np.

1) Dany gazomierz o $Q_{max} = 60$ $m^3/godz.$ dla $H_{max} = 2000$ mm sł. wody ma być sprawdzony manometrem różnicowym. Z równania (1) otrzymujemy:

$$Q = \frac{60 \cdot \sqrt{13,6}}{\sqrt{2000}} \cdot \sqrt{H \text{ (mm sł. rtęci)}}$$

czyli:

$$Q \text{ (m}^3\text{/godz)} = 4,947 \cdot \sqrt{H \text{ (mm sł. rtęci)}}$$

2) Dla paromierza o $Q_{max} = 5000$ $kg/godz$ i $H_{max} = 6000$ mm sł. wody ma być wyznaczona jego dokładność wskazań zapomocą manometru różnicowego. Z równania (2) otrzymujemy:

$$Q = \frac{500 \cdot \sqrt{12,6}}{\sqrt{6000}} \cdot \sqrt{H \text{ (mm sł. rtęci)}}$$

czyli:

$$Q \text{ (kg/godz.)} = 229,129 \cdot \sqrt{H \text{ (mm sł. rtęci)}}$$

W obu przykładach, mając odczyty włączonego manometru różnicowego, bardzo szybko można wyliczyć dokładność wskazań przyrządów pomiarowych.

Sprawdzanie wyłączzonego z ruchu przyrządu do mierzenia ilości przepływu. Korzystamy i w tym przypadku z różnicowego manometru, a mianowicie jedno ramię U -rurki łączymy przewodem gumowym z przy-

rzędem pomiarowym i z małą pompką powietrzną, jak to wskazuje rys. (2).

Przez ostrożne włączanie pompką powietrza, doprowadza się do wychylenia oba przyrządy pomiarowe. Następnie z równania (1) można obliczyć ilość przepływu, jaka odpowiada zmierzonej U -rurką wartości różnicy ciśnień H i tą ilość przepływu porównać ze wskazaniem przyrządu pomiarowego. Również i dla tego przypadku można równanie (1) uprościć, jak w podanych wyżej przykładach, przez podstawienie stałych przyrządu.

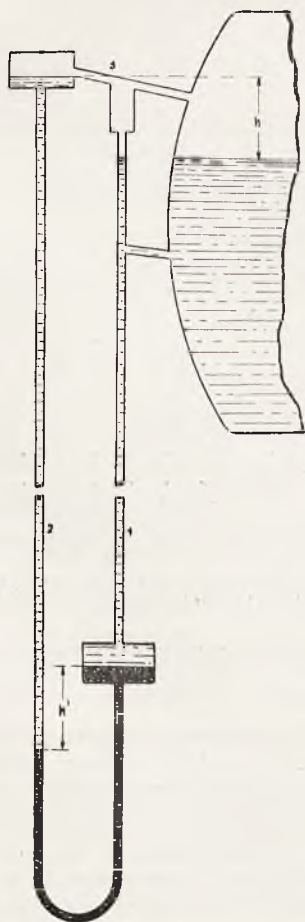
Należy zaznaczyć, że przyrządy do pomiaru ilości przepływu naogół są dostosowane tylko dla pewnego określonego ciśnienia i temperatury przepływającego czynnika. Niema to jednak żadnego znaczenia przy sprawdzaniu dokładności wskazań tych przyrządów, ponieważ sprawdzany przyrząd, jak i manometr różnicowy mierzą tylko różnicę ciśnień wywołaną zwięzieniem strumienia przepływającego czynnika.

A. W.

PRZEGLĄD WYTWÓRCZOŚCI

Wodowskazy opuszczone.

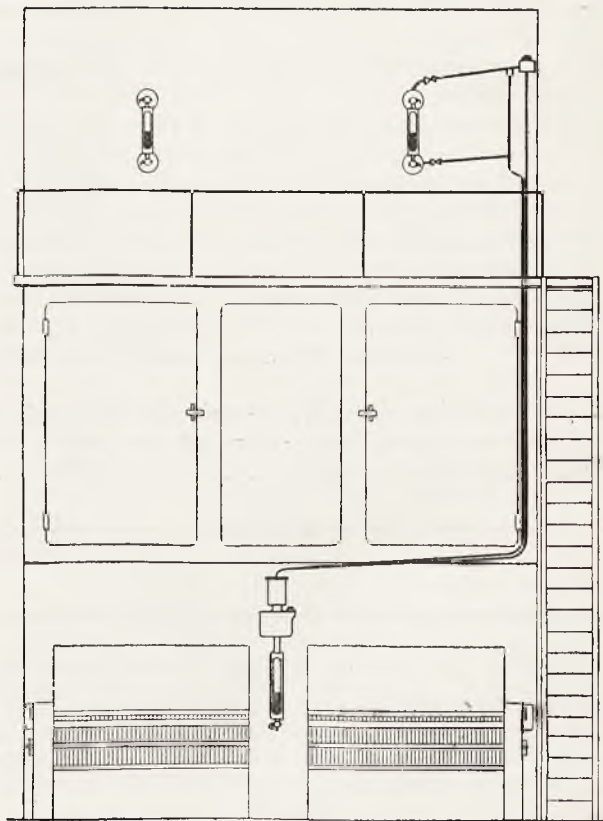
Zagadnienie to związane jest z wprowadzeniem kotłów wysokopiętnych. Nowoczesna kotłownia budowana jest zasadniczo w ten sposób, że popielniki



Rys. 1

różny, to też obserwacja stanu wody była utrudniona a czasami niemożliwa dla obsługi kotła. Stan ten zmuszał do przekazywania wskazań stanu wody na miejsce widoczne. Nie wszystkie mechaniczne czy też optyczne rozwiązania dały należyte rozwiązanie tego zagadnienia.

Wodowskaz „Igema“, posiada przyrząd wskaźnikowy, który służy do tego, aby uwidocznić palaczowi stan wody w kotle.



Rys. 2

znajdują się na pewnym podwyższeniu ponad poziomem, wysokie komory dla lepszego spalania i układ rur spowodowały, że walczyki znajdują się na wysokości od 6 — 18 metrów. Układ walczyków jest też

Przenoszenie wskazań stanu wody odbywa się zapomocą wody kotła parowego, bez posiłkowania się jakimikolwiek środkami mechanicznymi, jak: łańcuszki,

pływak, drążki, lub wreszcie urządzeniami elektrycznymi.

Układ połączeń podany jest na rysunku 1-ym. W zasadzie jest to rurka w formie „U”, której odnogi wchodzi do walczaka: jedna do części wodnej a druga do parowej. Na dole w rurce „U” znajduje się płyn wskaźnikowy, ponad którym w obydwóch odnogach znajduje się woda: w rurce I-szej zapomocą bezpośredniego połączenia z wodą w walczaku, w drugiej zapomocą tworzących się z pary skroplin. Jeżeli stan wody, w kotle opada, to płyn wskaźnikowy posuwa się z odnogi II-iej do I-iej dopóty, dopóki nie powróci stan równowagi. Stan ten jest osiągnięty, o ile różnice między poziomem płynu i poziomem wody przy walczaku są jednakowe t. j. o ile $h = h'$. Równość tę osiąga się przez zastosowanie płynu o ciężarze właściwym dwa razy większym od ciężaru właściwego, znajdującej się nad nim wody. Montaż aparatu odbywa się zapomocą odgałęzień, które winny się znajdować między króćcami walczaka i kołnierzą normalnego wodowskazu. Stamtąd przeprowadza się rurki do skraplacza wzgl. do aparatu wskaźnikowego, który może być umieszczony na dowolnem miejscu.

Na rys. 2-im podany jest układ montażowy

z którego widać, że rurki winny być prowadzone z małym spadkiem.

Nierozpuszczający się w wodzie płyn wskaźnikowy umieszczony jest w aparacie wskaźnikowym, wykonanym z brązu i tak zbudowanym, że wskazania jego odpowiadają wskazaniom aparatów refleksyjnych t. j., woda, w danym wypadku płyn wskaźnikowy, wydaje się ciemną, a para w danym wypadku woda — jasną. Aby uniknąć przedostania się mułu z kotła przez rurkę I-ą do aparatu wskaźnikowego, pomiędzy rurkami istnieje połączenie pomocnicze, do którego spływają skropliny. Skraplacz i rurka połączeniowa są tak obliczone, że nawet przy najwyższym poziomie wody w kotle więcej dopływa skroplin z góry aniżeli wody z kotła. W ten sposób powstaje prąd powrotny skroplin, który utrzymuje przewody a nawet wodowskaz bez mułu. Wskaźnik wody ma długie szkło, co umożliwi nawet podczas ruchu ze słabym obciążeniem, przy którym kocioł można nieco wyżej napełnić, dobre obserwowanie stanu wody. Wtedy kocioł pozwala na duży i nagły odbiór z niego pary.

Konstrukcja tego typu zapewnia całkowite bezpieczeństwo pracy kotła.

WYDAWNICTWA STOWARZYSZEŃ DOZORU KOTŁÓW

1. *Biedrzycki i Wysokiński.* Rolnicze lokomobile parowe i młocarnie zł. 3.20
2. *W. Chrzanowski prof.* Stawidła maszyn parowych. Część I. Stawidła suwakowe 9.—
3. *W. Chrzanowski prof.* Nowoczesne turbiny parowe 4.50
4. *B. Humięcki.* Zasady opalania kotłów parowych węglem —.75
5. *M. Żeliszewski.* Obsługa turbin parowych 5.—
6. Przepisy dla obsługujących kotły parowe 2.00
7. **II-gi kurs inżynierski** Politechniki lwowskiej ogłoszony w czasie od 4 do 7 kwietnia 1923 r. Wykłady o gospodarce cieplnej 6.—
8. Spis Członków Stowarzyszenia Dozoru Kotłów w Warszawie 60.—
dla Członk. Stow. 40.—
9. **Technika Ciepła** — miesięcznik poświęcony gospodarce cieplnej i sprawom związanym z bezpieczeństwem pracy kotłów parowych.
10. Roczna prenum. zł. 12.—Roczniki: 1924, 1925, 1926, 1927, 1928, 1929, 1931, 1932 i 1933 r. po 12.—

T R E Ś Ć: *M. T. Huber*, prof. dr. Obliczenie wytrzymałościowe płomienie kotłów parowych o przekroju eliptycznym. — *E. Wolniewicz*, inż. i *A. E. Sierżputowski*, inż. O nowoczesnych sposobach pomiaru temperatury. — KRONIKA TECHNICZNA: *Ig. Gr.* Wyniki próby zastosowania prądu elektrycznego do wytwarzania pary w kotle płomieniowym. — *Ig. Gr.* Czyszczenie kotłów strumieniem piasku. — *A. W.* Wirujący podgrzewacz wody. — *A. W.* Ekonomiczne małe kotły. — *A. W.* Przyczyna zmniejszenia się wydajności pompy. — *A. W.* Sprawdzanie przyrządów do mierzenia ilości przepływu. — PRZEGLĄD WYTWÓRCZOŚCI: Wodowskazy opuszczone.

SOMMAIRE: *M. T. Huber*, prof. dr. La calcul de resistance des tubes elliptiques des chaudières à vapeur. — *E. Wolniewicz*, ing. et *A. E. Sierżputowski*, ing. Les methodes contemporaines du mesurement de la temperature. — CHRONIQUE: *Ig. Gr.* Le chauffage électrique des chaudières. — *Ig. Gr.* Le nettoyage des chaudières au moyen de la sable. — *A. W.* Un rechauffeur d'eau à motion tournante. — *A. W.* Petites chaudières économiques. — *A. W.* La cause du mauvais rendement de la pompe. — *A. W.* Le controle des appareils pour mesurer la quantité d'écoulement. — NOUVEAUX APPAREILS: Indicateurs de niveau d'eau.